КОЛЛЕКЦИЯ ЛИНИЙ ПЛЮРИПОТЕНТНЫХ СТВОЛОВЫХ КЛЕТОК

УДК 576.5+577.2

Паспорт линии плюрипотентных стволовых клеток

СОЗДАНИЕ ЛИНИИ ИНДУЦИРОВАННЫХ ПЛЮРИПОТЕНТНЫХ СТВОЛОВЫХ КЛЕТОК ICGi043-А С ПОМОЩЬЮ РЕПРОГРАММИРОВАНИЯ МОНОНУКЛЕАРНЫХ КЛЕТОК ПЕРИФЕРИЧЕСКОЙ КРОВИ ПАЦИЕНТА С БОЛЕЗНЬЮ ПАРКИНСОНА, АССОЦИИРОВАННОЙ С ПАТОЛОГИЧЕСКИМ ВАРИАНТОМ p.G2019S LRRK2

© 2023 г. Е. В. Григорьева^{a, &}, *, С. В. Павлова^{a, &}, А. А. Малахова^{a, &}, Е. С. Яркова^a, Д. А. Сорогина^a, Ю. М. Минина^a, И. В. Милюхина^b, М. А. Николаев^c, С. Н. Пчелина^c, С. П. Медведев^a, С. М. Закиян^a

^аФГБНУ "Федеральный исследовательский центр Институт цитологии и генетики Сибирского отделения Российской академии наук", просп. акад. Лаврентьева, 10, Новосибирск, 630090 Россия ^bФГБНУ Институт мозга человека им. Н.П. Бехтеревой Российской академии наук, улица акад. Павлова, 9, Санкт-Петербург, 197376 Россия

^cПервый Санкт-Петербургский государственный медицинский университет им. акад. И.П. Павлова, ул. Льва Толстого, 6—8, Санкт-Петербург, 197022 Россия

*e-mail: evlena@bionet.nsc.ru
Поступила в редакцию 08.12.2022 г.
После доработки 20.12.2022 г.
Принята к публикации 22.12.2022 г.

Патологический вариант р.G2019S в гене LRRK2 приводит к возникновению наследственной формы болезни Паркинсона (БП) и встречается у 7% пациентов с семейной формой данной патологии, однако пока до конца не ясны механизмы, запускающие нейродегенеративные процессы. Из мононуклеарных клеток периферической крови пациента с наследственной формой БП, ассоциированной с генетическим вариантом c.6055G>A (р.G2019S, rs34637584) в гене LRRK2 нами были получены ИПСК (линия iCGi043-A) с использованием трансфекции эписомными векторами. Данные ИПСК интенсивно пролиферируют плотными однослойными колониями клеток, являются позитивными на эндогенную щелочную фосфатазу, имеют нормальный кариотип (46,XX), экспрессируют маркеры плюрипотентности (ОСТ4, SOX2, NANOG, TRA-1-60, SSEA-4) и способны дифференцироваться в три зародышевых листка (экто-, энто- и мезодерму), что подтверждает их плюрипотентный статус. Дальнейшая направленная дифференцировка полученных ИПСК в дофаминергические нейроны позволит создать *in vitro* клеточную модель БП, ассоциированную с патологическим вариантом c.6055G>A в гене LRRK2 и внести вклад в понимание патогенеза БП.

Ключевые слова: болезнь Паркинсона, индуцированные плюрипотентные стволовые клетки, ген *LRRK2*, репрограммирование

DOI: 10.31857/S0475145023010056, **EDN:** FQQEBY

ВВЕДЕНИЕ

Нарушения структуры гена обогащенной лейциновыми повторами киназы 2(LRRK2) являются наиболее частыми причинами развития наследственных форм болезни Паркинсона (БП). В то же время, точные механизмы участия варианта LRRK2 в патогенезе БП пока не выяснены. Вариант

р.G2019S, усиливающий киназную активность фермента, встречается у 7% пациентов с семейной формой БП (Пчелина и др., 2011). Репрограммирование соматических клеток к плюрипотентному состоянию является революционной технологией и позволяет получать пациент-специфичные индуцированные плюрипотентные стволовые клетки (ИПСК) способные неограниченно поддерживаться в культуре и дифференцироваться в любой тип кле-

[&] Равный вклад авторов.

ток. Данная уникальная возможность позволяет создавать in vitro клеточные модели, используемые лля поиска триггеров заболевания и тестирования новых лекарственных препаратов. От пациента с БП, ассоциированной с патогенным вариантом c.6055G>A (р.G2019S, rs34637584) в гене *LRRK2* нами были получены ИПСК, отвечающие всем требованиям плюрипотентных клеток. Клетки экспрессируют маркеры плюрипотентности (факторы транскрипции SOX2, OCT4 и NANOG, а также поверхностные антигены TRA-1-60 и SSEA-4), имеют нормальный кариотип (46,ХХ), способны дифференцироваться во все три типа клеток эмбриона (экто-, энто- и мезодерму). Создание клеточной модели данной формы заболевания на основе ИПСК внесет вклад в изучение молекулярных механизмов, лежащих в основе LRRK2-зависимого патогенеза БП.

МАТЕРИАЛЫ И МЕТОДЫ

Получение ИПСК и условия культивирования

1 × 10⁶ МНК трансфицировали набором эписомных векторов, кодирующих ОСТ4, KLF4, L-MYC, SOX2, LIN28 и mp53DD (по 0.5 мкг каждого) (Addgene ID № 41855-58, 41813-14) с использованием Neon Transfection System (Thermo Fisher Scientific), программа: 1650 B, 10 мс, 3 раза и культивировали, как описано в инструкции к набору Ері5тм Episomal iPSC Reprogramming Kit (Thermo Fisher Scientific) (https://www.thermofisher.com/document-connect/document-connect.html?url= https://assets.thermofisher.com/TFS-Assets%2FLSG%2 Fmanuals%2Fepi5_episomal_ipsc_reprogramming_man.pdf). Ha 9 день после трансфекции клетки переводили на среду, содержащую 85% КпоскОит DMEM, 15% KnockOut Serum Replacement, 0.1 MM NEAA, 0.1 MM 2-меркаптоэтанол, 1% пенициллин-стрептомицин, GlutaMAX-I (все Thermo Fisher Scientific) и 10 нг/мл bFGF (SCI Store). Первичные колонии ИПСК отбирали вручную и высевали в индивидуальные лунки 48-ячеечного планшета с предварительно посаженными митотически инактивированными эмбриональными фибробластами мыши. ИПСК пассировали 2 раза в нелелю в соотношении 1:10 с добавлением ROCK ингибитора — 2 мкг/мл Thiazovivin (Sigma). Диссоциацию колоний ИПСК осуществляли реагентом TrypLE (Thermo Fisher Scientific). Клетки культивировали при 37°C в 5% CO₂.

Выделение геномной ДНК и РНК

Геномную ДНК выделяли из МНК и ИПСК с использованием набора для очистки геномной ДНК Wizard® Genomic DNA Purification Kit (Promega). РНК выделяли с использованием Trizol (Thermo Fisher Scientific) по протоколу производителя.

Генетический анализ

Пациент с патогенным вариантом G2019S в гене *LRRK2* был выявлен в результате скрининга данной замены в группе пациентов с БП с использованием ПЦР-рестрикционного анализа (Pchelina et al., 2006). Наличие варианта с.6055G>A в гене LRRK2 подтверждали секвенированием по Сэнгеру, праймеры приведены в табл. 1. Реакции проводили на амплификаторе T100 Thermal Cycler (Bio-Rad) с использованием BioMaster HS-Tag PCR-Color (2×) (Biolabmix) и следующей программы: $95^{\circ}C - 3$ мин: 35 циклов: 95°С в течение 30 с; 68°С в течение 30 с; 72°С в течение 30 с; и 72°С в течение 5 мин. Реакции секвенирования по Сэнгеру проводили с помощью Від Dye Terminator V. 3.1 Cycle Sequencing Kit (Applied Biosystems) и анализировали на генетическом анализаторе ABI 3130XL в ЦКП "Геномика" CO PAH (http://www.niboch.nsc.ru/doku.php/corefacility).

Выявление микоплазмы и эписом

Детекцию контаминации микоплазмы и наличия последовательностей эписом в клетках проводили с помощью ПЦР (95°С 5 мин; 35 циклов: 95°С 15 с, 60°С 15 с, 72°С 20 с) на амплификаторе \$1000 Thermal Cycler (Bio-Rad) (Choppa et al., 1998; Okita et al., 2013). Праймеры перечислены в табл. 1.

Анализ кариотипа

Кариотипирование проводили, как описано ранее (Grigor'eva et al., 2020).

Спонтанная дифференцировка in vitro

Потенциал дифференцировки *in vitro* анализировали с помощью формирования эмбриоидных телец, как описано panee (Grigor'eva et al., 2020).

Иммунофлуоресцентное окрашивание

Клетки фиксировали в 4% параформальдегиде (10 мин, при комнатной температуре (КТ)), пермеабилизировали 0.5% Тритон-X100 (30 мин, КТ), инкубировали с 1% БСА (30 мин, КТ). Первичные антитела инкубировали в течение ночи при 4°С, вторичные антитела добавляли на 1.5—2 ч при комнатной температуре (табл. 1). Ядра контрастировали DAPI. Микрофотографии были сделаны с использованием микроскопа Nikon Eclipse Ti-E и программного обеспечения NIS Elements.

Количественная ОТ-ПЦР

Обратную транскрипцию 1 мкг РНК проводили с помощью ревертазы M-MuLV (Biolabmix). Количественную ПЦР проводили на приборе LightCycler 480 Real-Time PCR System (Roche) с

Таблица 1. Антитела и олигонуклеотиды, использованные в исследовании

	Антител		анные в исследовании		
	Антитело	Разведение	Производитель, кат. №	RRID	
Маркеры	Rabbit IgG anti-OCT4	1:200	Abcam, ab18976	RRID:AB_444714	
плюрипотентности	Rabbit IgG anti-SOX2	1:500	Cell Signaling, 3579	RRID:AB_2195767	
	Mouse IgG3 anti-SSEA4	1:200	Abcam, ab16287	RRID:AB_778073	
	Mouse IgM anti-TRA-1-60	1:200	Abcam, ab16288	RRID:AB_778563	
Маркеры дифферен-	Mouse IgG2a anti-aSMA	1:100	Dako, M0851	RRID:AB 2223500	
цированных	Mouse IgG1 anti-human CD90	1:100	eBioscience, 14090982	RRID:AB_763535	
производных	Rabbit IgG anti-GFAP	1:500	Dako Cat # Z0334	RRID:AB_10013382	
	Mouse IgG2a anti-Tubulin β 3 (TUBB3)/Clone: TUJ1	1:1000	BioLegend, 801201	RRID:AB_2313773	
	Mouse IgG1 anti-Cytokeratin 18 (KRT18)	1:100	Abcam, ab668	RRID:AB_305647	
	Mouse IgG3 anti-SOX17	1:600	R&D systems Cat # MAB1924	RRID:AB_2195646	
Вторичные антитела	Goat anti-Mouse IgG (H + L) Secondary Antibody, Alexa Fluor 568	1:400	Thermo Fisher Scientific, A11031	RRID:AB_144696	
	Goat anti-Mouse IgG2a Cross- Adsorbed Secondary Antibody, Alexa Fluor 568	1:400	Thermo Fisher Scientific, A21134	RRID:AB_2535773	
	Goat anti-Mouse IgG3 Cross- Adsorbed Secondary Antibody, Alexa Fluor 488	1:400	Thermo Fisher Scientific, A21151	RRID:AB_2535784	
	Goat anti-Mouse IgM Heavy Chain Cross-Adsorbed Secondary Antibody, Alexa Fluor 568	1:400	Thermo Fisher Scientific, A21043	RRID:AB_2535712	
	Goat anti-Rabbit IgG (H + L) Highly Cross-Adsorbed Secondary Antibody, Alexa Fluor 488	1:400	Thermo Fisher Scientific, A11008	RRID:AB_143165	
	Goat anti-Rabbit IgG (H + L) Alexa Fluor 568	1:400	Thermo Fisher Scientific, A11011	RRID:AB_143157	
	Олигонуклеотиды				
	Ген/локус	Размер продукта	Прямой/обратный праймер (5'-3')		
Детекция эписомных векторов	oriP	544 пн	TTCCACGAGGGTAGTO TCGGGGGTGTTAGAC		
Референсный ген (колич. ОТ-ПЦР)	Бета-2-микроглобулин	280 пн	TAGCTGTGCTCGCGCTACT/ TCTCTGCTGGATGACGTGAG		
Маркеры плюрипотентности	NANOG	391 пн	CAGCCCCGATTCTTCCACCAGTCCC/ CGGAAGATTCCCAGTCGGGTTCACC		
(колич. ОТ-ПЦР)	OCT4	94 пн	CTTCTGCTTCAGGAGCTTGG/ GAAGGAGAAGCTGGAGCAAA		
	SOX2	100 пн	GCTTAGCCTCGTCGATGAAC/ AACCCCAAGATGCACAACTC		
Детекция микоплазмы	Ген рибосомальной 16S РНК	280 пн	GGGAGCAAACAGGATTAGATACCCT/ TGCACCATCTGTCACTCTGTTAACCTC		
Подтверждение генетического варианта	LRRK2:c.6055G>A	518 пн	GGCAGATACCTCCACTCAGC/ TTGATTTGCCTCACAAGTGC		

Таблица 2. Паспорт клеточной линии ИПСК человека ICGi042-A

Параметры	Описание		
Уникальный идентификатор	ICGi043-A		
Альтернативное название линии	LR-21		
Учреждение	ФГБНУ Федеральный исследовательский центр "Институт цитологии и генетики СО РАН", Новосибирск, Россия		
Одобрение этического комитета	Исследование одобрено этической комиссией ФГБНУ Институт мозга человека им. Н.П. Бехтеревой Российской академии наук, протокол № 1 от 26.11.2020		
Тип клеток	ипск		
Вид организма	Человек		
Дополнительная информация о происхождении клеточной линии	Возраст: 74 Пол: Ж Этническая принадлежность: европеоидная раса		
Исходный тип клеток	Мононуклеарные клетки периферической крови		
Дата забора биоматериала	2020 год		
Способ репрограммирования	Неинтегрирующиеся эписомные плазмидные векторы		
Репрограммирующие факторы	OCT4, KLF4, L-MYC, SOX2, LIN28 и p53 shRNA		
Клональность	Клональные		
Генетическая модификация	Нет		
Вид генетической модификации	Нет		
Подтверждение элиминации/замолкания репрограммирующих трансгенов	ПЦР, не детектируются		
Заболевание	Болезнь Паркинсона		
Ген/локус	<i>LRRK2:c.6055G>A</i> (p.G2019S, rs34637584)		
Морфология	Монослойные колонии, подобные плюрипотентным клеткам человека		
Плюрипотентность	Подтверждена в тестах на формирование эмбриоидных телец		
Кариотип	46,XX		
Проверка контаминации	Бактерии, грибы и микоплазма не обнаружены		
Область применения	In vitro модель БП		
Способ культивирования	На питающем слое митотически инактивированных эмбриональных фибробластов мыши		
Среда культивирования	85% KnockOut DMEM, 15% KnockOut Serum Replacement, 0.1 мМ NEAA, 0.1 мМ 2-меркаптоэтанол, 1% пенициллин-стрептомицин, GlutaMAX-I (все Thermo Fisher Scientific), 10 нг/мл bFGF (SCI Store)		
Температура, °С	37		
Концентрация СО2, %	5		
Концентрация О2, %	20		
Способ пересева	Энзиматический, TripLE (Thermo Fisher Scientific)		
Кратность пересева	1:8-1:10		
Криоконсервация	90% FBS, 10% DMSO		
Условия хранения	Жидкий азот		
Учетная запись в реестре	https://hpscreg.eu/cell-line/ICGi043-A		
Дата паспортизации/депонирования	05/12/2022		

Таблица 3. Характеристика линии ИПСК человека ICGi043-A

Параметры	Метод	Результат	Данные
Морфология	Микрофотография в фазовом контрасте	Характерная для плюрипо- тентных клеток человека	Рис. 1а
Фенотип	Качественный анализ Окрашивание на щелочную фосфатазу	Положительный	Рис. 1б
	Качественный анализ Иммунофлуоресцентное окрашивание	Положительное окрашивание на маркеры плюрипотентности: OCT4, NANOG, SOX2, TRA-1-60	Рис. 1в
	Количественный анализ ПЦР в реальном времени	Повышение уровня экспрессии маркеров плюрипотентности: NANOG, OCT4, SOX2	Рис. 1г
Генотип	Кариотипирование	46,XX Разрешение 450—500	Рис. 1д
Идентификация	STR анализ	25 из 25 полиморфных локусов совпадают с МНК	Данные доступны по запросу у авторов
Генотипирование	ПЦР-рестрикционный анализ	<i>LRRK2:c.6055G>A</i> , rs34637584	Данные доступны по запросу у авторов
	Секвенирование по Сэнгеру	Подтверждено присутствие генетического варианта в гетерозиготном состоянии	Рис. 1ж
Контаминация	Микоплазма	Отсутствует	Рис. 13
Потенциал дифференцировки	Формирование эмбриоидных телец, иммунофлуоресцентное окрашивание	Положительное окрашивание на маркеры трех зародышевых листков: aSMA и CD90 (мезодерма); GFAP и TUBB3 (эктодерма); SOX17 и KRT18 (энтодерма)	Рис. 1е
Инфекции донора	ВИЧ, гепатит В, гепатит С	Нет данных	Нет данных
Дополнительная	Группа крови	Нет данных	Нет данных
информация о генотипе	HLA-типирование	Нет данных	Нет данных

набором BioMaster HS-qPCR SYBR Blue $2\times$ (Biolabmix) с использованием программы: 95° C 5 мин; 40 циклов: 95° C 10 с, 60° C 1 мин. Значения СТ нормализовали к бета-2-микроглобулину с использованием $\Delta\Delta$ CT-метода.

STR анализ

Аутентификацию линии ИПСК осуществляла компания "Геноаналитика" (https://www.genoanalytica.ru) с использованием наборов AmpFISTR Identifiler (Applied Biosystems) и Investigator HDplex (QIAGEN), на приборе 3130 Genetic Analyzer (Applied Biosystems, Japan).

ПОЛУЧЕНИЕ И ХАРАКТЕРИСТИКА КЛЕТОЧНОЙ ЛИНИИ

Паспорт клеточной линии ИПСК ICGi043-A представлен в табл. 2, полная характеристика этой линии приведена на рис. 1 и в табл. 3.

Генотипирование 74-летней пациентки с БП выявил патологический вариант *LRRK2:c.6055G>A* (р.G2019S). Мононуклеарные клетки (МНК) периферической крови пациентки были репрограммированы к плюрипотетному состоянию с помощью неинтегрирующихся эписомных векторов, экспрессирующих факторы репрограммирования: ОСТ4, KLF4, L-MYC, SOX2, LIN28 и р53 shRNA (Okita et al., 2013). Полученная линия ИПСК (ICGi043-A)

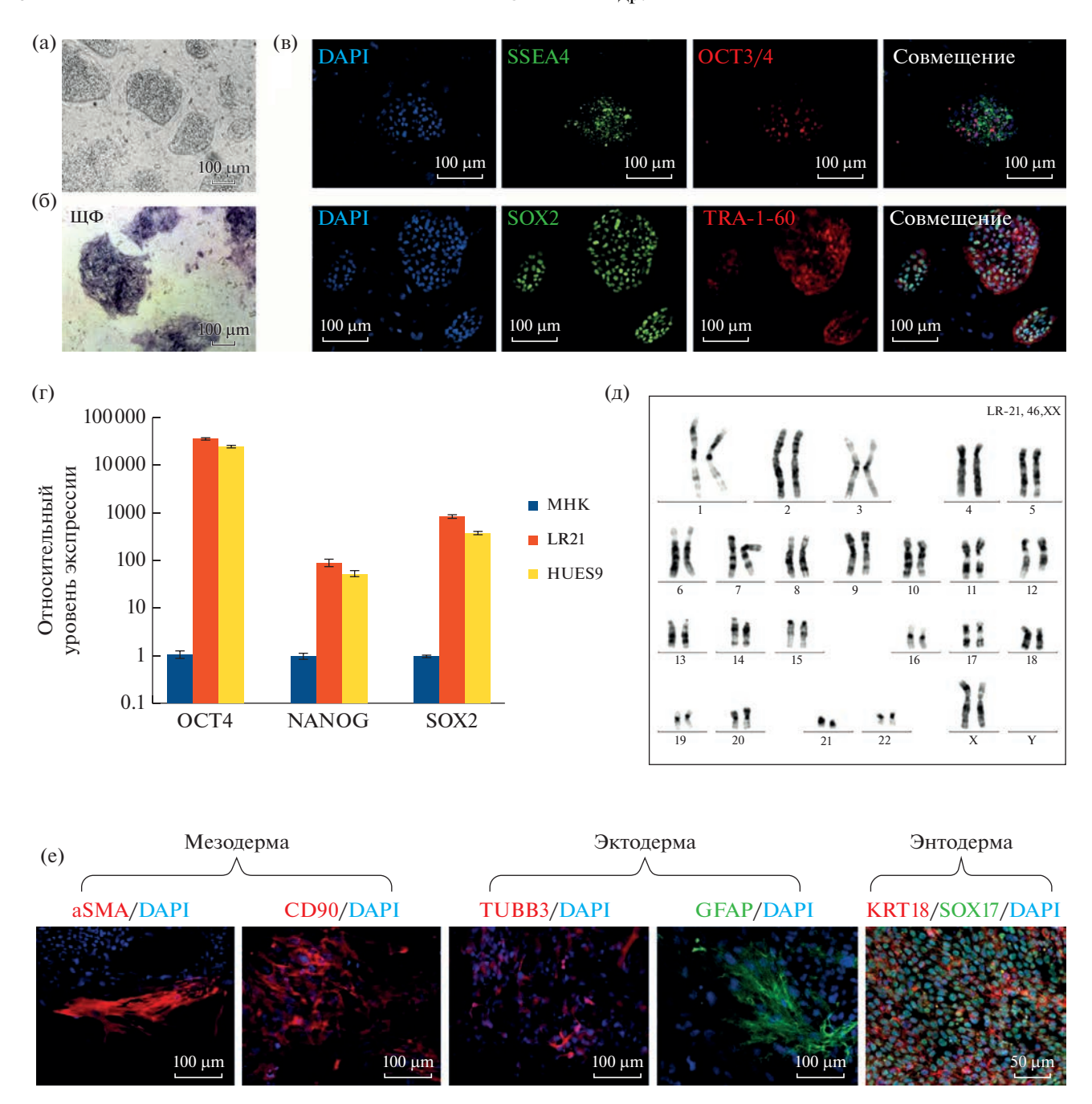


Рис. 1. Характеристика линии ИПСК человека ICGi043-A. (а, б) Клетки линии ICGi043-A, растущие на слое митотически инактивированных эмбриональных фибробластов мыши; (а) морфология клеток; (б) гистохимическое выявление щелочной фосфатазы; (в) иммунофлуоресцентная окраска на маркеры плюрипотентности: ОСТ4 (красный), SOX2 (зеленый), SSEA4 (зеленый), TRA-1-60 (красный) на 16-м пассаже; (г) ПЦР в реальном времени маркеров плюрипотентности (ОСТ4, NANOG, SOX2) линии ИПСК ICGi043-A на 16-м пассаже, МНК пациента и линии ЭС клеток НUES9; (д) G-бэндинг линии ICGi043-A на 5 пассаже показал нормальный кариотип (46,XX); (е) иммунофлуоресцентная окраска на маркеры трех зародышевых листков эктодермы (тубулин β3 (TUBB3/TUJ1), глиальный фибриллярный кислый белок (GFAP)), мезодермы (α-актин гладких мышц (αSMA), поверхностный маркер CD90), энтодермы (SOX17, кератин 18 (КRТ18)); (ж) секвенограммы участков гена *LRRK2* МНК пациента с БП, линии ИПСК ICGi043-A и здорового донора (дикий тип); (з, и) результаты ПЦР анализа; (з) эписомные векторы элиминировали в ИПСК на 15 пассаже; (и) на 17 пассаже не было выявлено контаминации линии микоплазмами. Обозначения: МНК – мононуклеарные клетки периферической крови, НUES9 – линия эмбриональных стволовых клеток человека, служившая положительным контролем экспрессии маркеров плюрипотентности, ЩФ — щелочная фосфатаза. Все масштабные линейки — 100 мкм.

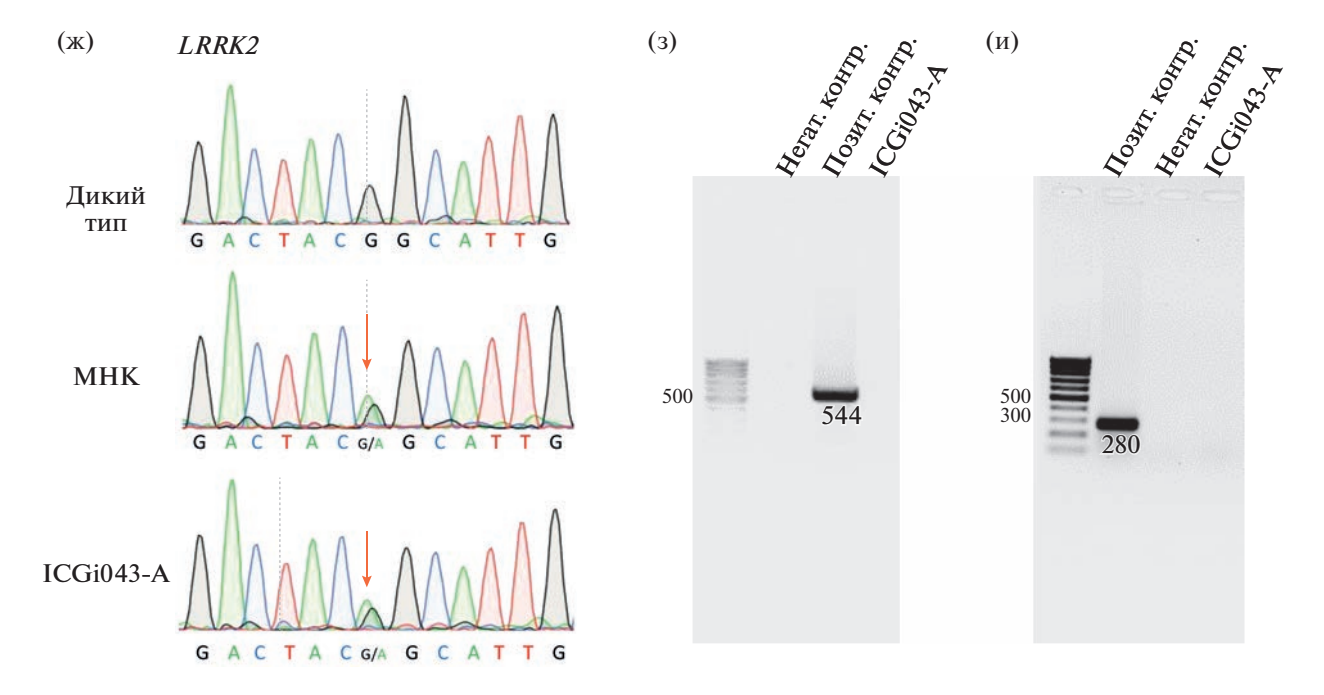


Рис. 1. Окончание.

была подробно охарактеризована. Колонии клеток росли на питающем слое митотически инактивированных эмбриональных фибробластов мыши, демонстрировали типичную морфологию плюрипотентных стволовых клеток человека (рис. 1а), интенсивно пролиферировали и демонстрировали активность щелочной фосфатазы (рис. 1б). Иммунофлуоресцентное окрашивание клеток показало экспрессию факторов транскрипции SOX2 и ОСТ4, поверхностных антигенов TRA-1-60 и SSEA-4 на 16 пассаже (рис. 1в). Количественный анализ с помощью ПЦР в реальном времени выявил повышение уровня экспрессии маркеров плюрипотентности ОСТ4, NANOG и SOX2 на 16 пассаже (рис. 1г). Линия эмбриональных стволовых клеток человека HUES9 (HVRDe009-A) служила положительным контролем экспрессии маркеров плюрипотентности. G-бэндинг линии ICGi043-A на 5 пассаже показал нормальный кариотип (46,ХХ) (было проанализировано 100 метафазных пластинок; рис. 1д). Наличие полиморфизма в гене LRRK2 в линии ICGi043-A был подтвержден секвенированием по Сэнгеру и сопоставлен с полиморфизмом в ДНК МНК (рис. 1ж). Способность полученной клеточной линии ICGi043-A дифференцироваться в три зародышевых листка была подтверждена спонтанной дифференцировкой in vitro посредством образования эмбриоидных телец. Иммунофлуоресцентное окрашивание дифференцированных клеток выявило экспрессию маркеров эктодермы (тубулина ВЗ (TUBB3/TUJ1), глиальный фибриллярный кис-

лый белок (GFAP)), мезодермы (α-актин гладких мышц (αSMA), поверхностный маркер CD90), энтодермы (SOX17, кератин 18 (KRT18)) (рис. 1е). Эписомные векторы элиминировали в ИПСК на 15 пассаже (рис. 1з). ПЦР-тест линии ИПСК ICGi043-А не выявил контаминации микоплазмами на 17 пассаже (рис. 1и). Анализ коротких тандемных повторов (STR) линии ИПСК ICGi043-А на 10 пассаже продемонстрировал идентичность МНК по 25 полиморфным локусам (данные доступны по запросу у авторов).

БЛАГОДАРНОСТИ

Репрограммирование мононуклеарных клеток периферической крови и характеристика ИПСК были выполнены в ФГБНУ Федеральный исследовательский центр "Институт цитологии и генетики СО РАН". Биологический материал (периферическая кровь) пациентки с патологическим вариантом LR-RK2:c.6055G>A (p.G2019S) был предоставлен ФГБНУ Институт мозга человека им. Н.П. Бехтеревой РАН. Выделение мононуклеарных клеток и генотипирование было осуществлено в Первом Санкт-Петербургском государственном медицинском университете им. акад. И.П. Павлова. Иммунофлуоресцентную визуализацию проводили с использованием ресурсов Центра коллективного пользования микроскопического анализа биологических объектов ИЦГ СО РАН (https://ckp.icgen.ru/ckpmabo/), поддержанного Бюджетным проектом ИЦиГ СО РАН FWNR-2022-0015.

ФИНАНСИРОВАНИЕ РАБОТЫ

Исследование выполнено при финансовой поддержке Российского Научного Фонда, проект № 19-75-20063.

СОБЛЮДЕНИЕ ЭТИЧЕСКИХ СТАНДАРТОВ

Исследование одобрено этической комиссией ФГБНУ Институт мозга человека им. Н.П. Бехтеревой Российской академии наук, протокол № 1 от 26.11.2020. Пациенту была предоставлена вся информация о настоящем исследовании и им собственноручно подписано информированное согласие и информационный лист.

КОНФЛИКТ ИНТЕРЕСОВ

Авторы заявляют, что какой-либо конфликт интересов отсутствует.

ВКЛАД АВТОРОВ

Е.В. Григорьева, С.В. Павлова и А.А. Малахова внесли равный вклад в работу и выполняли культуральную и молекулярно-генетическую часть работы, а именно, репрограммирование мононуклеарных клеток, получение индивидуальных клонов ИПСК и детальная их характеристика. Ведение индивидуальных клонов ИПСК и кПЦР были выполнены Е.С. Ярковой и Д.А. Сорогиной. С.П. Медведев выполнил секвенирование по Сенгеру для подтверждения наличия полиморфизмов в полученных ИПСК. Ю.М. Минина выполнила кариотипирование полученной линии ИПСК. Ме-

дицинское сопровождение пациента и предоставление мононуклеарных клеток осуществлено И.В. Милюхиной. М.А. Николаев и С.Н. Пчелина провели скрининг пациентов с БП с вариантом G2019S в гене *LRRK2*. Е.В. Григорьева, С.В. Павлова, А.А. Малахова и С.М. Закиян разработали дизайн эксперимента, провели анализ полученных данных и участвовали в написании статьи.

СПИСОК ЛИТЕРАТУРЫ

- Пчелина С.Н., Иванова О.Н., Емельянов А.К., Якимовский А.Ф. Клиническое течение LRRK2-ассоциированной болезни Паркинсона // Журн. неврологии и психиатрии. 2011. Т. 12. С. 56—62.
- Choppa P.C., Vojdani A., Tagle C. et al. Multiplex PCR for the detection of Mycoplasma fermentans, M. hominis and M. penetrans in cell cultures and blood samples of patients with chronic fatigue syndrome // Mol. Cell Probes. 1998. V. 12. № 5. P. 301–308.
- Grigor'eva E.V., Malankhanova T.B., Surumbayeva A. et al. Generation of GABAergic striatal neurons by a novel iPSC differentiation protocol enabling scalability and cryopreservation of progenitor cells // Cytotechnology. 2020. V. 72. № 5. P. 649–663.
- Okita K., Yamakawa T., Matsumura Y. et al. An efficient nonviral method to generate integration-free human-induced pluripotent stem cells from cord blood and peripheral blood cells // Stem Cells. 2013. V. 31. № 3. P. 458–466.
- Pchelina S.N., Yakimovskii A.F., Ivanova O.N., Emelianov A.K., Zakharchuk A.H., Schwarzman A.L. G2019S LRRK2 mutation in familial and sporadic Parkinson's disease in Russia // Mov. Disord. 2006. V. 21. № 12. P. 2234—2236.

Generation of an Induced Pluripotent Stem Cell Line, ICGi043-A, by Reprogramming Peripheral Blood Mononuclear Cells from Parkinson's Disease Patient with p.G2019S Mutation in *LRRK2* Gene

E. V. Grigor'eva^{1,*}, S. V. Pavlova¹, A. A. Malakhova¹, E. S. Yarkova¹, D. A. Sorogina¹, J. M. Minina¹, I. V. Miliukhina², M. A. Nikolaev³, S. N. Pchelina³, S. P. Medvedev¹, and S. M. Zakian¹

¹Institute of Cytology and Genetics, Siberian Branch of the Russian Academy of Sciences, prosp. acad. Lavrentieva, 10, Novosibirsk, 630090 Russia

²Behtereva Institute of the Human Brain of the Russian Academy of Sciences, ul. Akademika Pavlova, 9, Saint Petersburg, 197376 Russia

³Pavlov First Saint Petersburg State Medical University, ul. L'va Tolstogo, 6–8, Saint Petersburg, 197022 Russia *e-mail: evlena@bionet.nsc.ru

The pathological variant p.G2019S in the *LRRK2* gene leads to the occurrence of a hereditary form of Parkinson's disease (PD) and affects 7% of patients with a familial form of the disease. However, the mechanisms that trigger pathological events during the development of the disease are not yet fully understood. We obtained iPSCs (ICGi043-A line) from peripheral blood mononuclear cells of a patient with a hereditary form of PD associated with the genetic variant *c.6055G>A* (p.G2019S, rs34637584) in the *LRRK2* gene using transfection with episomal vectors. iPSCs rapidly proliferate in dense monolayer cell colonies, are positive for endogenous alkaline phosphatase, have a normal karyotype (46,XX), express pluripotency markers (OCT4, SOX2, NANOG, TRA-1-60, SSEA-4) and are able to differentiate into three germ layers (ecto-, endo- and mesoderm), which confirms their pluripotent status. Future directed differentiation of the obtained iPSCs into dopaminergic neurons will allow the creation of an in vitro cell model of PD associated with the pathological variant *c.6055G>A* in the *LRRK2* gene, and contribute to understanding the pathogenesis of PD.

Keywords: Parkinson's disease, induced pluripotent stem cells, polymorphisms, reprogramming